ХИМИЯ И НОВЫЕ МАТЕРИАЛЫ

УДК 547.775:544.527.22

ФОТОХРОМНЫЕ АЗОМЕТИНИМИНЫ НА ОСНОВЕ 5-ФЕНИЛПИРАЗОЛИДИН-3-ОНА

© 2016 г. О.С. Попова¹, В.А. Брень¹, Ю.В. Ревинский², К.С. Тихомирова¹, Г.С. Бородкин¹, Е.Н. Шепеленко², О.И. Дмитриева¹, А.Д. Дубоносов², академик В.И. Минкин^{1, 2}

Аннотация. Методами электронной спектроскопии поглощения и испускания, ИК- и ЯМР ¹Н-спектроскопии исследованы фотоиндуцированные превращения арилиденазометиниминов — производных 5-фенилпиразолидин-3-она. Определена зависимость параметров фотохромной изомеризации азометиниминов от характера заместителей арилиденового фрагмента. 1-(4-Метоксифенилметилиден)-, 1-бензилиден- и 1-(3-нитрофенилметилиден)-3-оксо-5-фенилпиразолидин-1-ий-2-иды претерпевают термически обратимую внутримолекулярную фотоциклизацию с образованием диазиридинового цикла. Скорость обратной темновой реакции раскрытия цикла повышается с увеличением полярности растворителя. В результате фотоциклизации 1-(4-нитрофенилметилиден)-3-оксо-5-фенилпиразолидин-1-ий-2-ида образуется устойчивый фотопродукт, не обладающий люминесценцией, в отличие от исходной формы. Совокупность спектральных характеристик позволяет рассматривать полученные азометинимины в качестве молекулярных переключателей оптических и флуоресцентных свойств.

Ключевые слова: азометинимины, 5-фенилпиразолидин-3-он, фотохромизм, флуоресценция, молекулярные переключатели.

PHOTOCHROMIC AZOMETHINE IMINES BASED ON 5-PHENYLPYRAZOLIDIN-3-ONE

O.S. Popova¹, V.A. Bren¹, Yu.V. Revinskiy², K.S. Tikhomirova¹, G.S. Borodkin¹, E.N. Shepelenko², O.I. Dmitrieva¹, A.D. Dubonosov², Academician RAS V.I. Minkin^{1,2}

Abstract. Photo-induced transformations of arylidene azomethine imines based on 5-phenylpyrazolidin-3-one were investigated by means of electronic absorption and emission spectroscopy, IR and ¹H NMR spectroscopy. The dependence of parameters of photochromic isomerization of azomethine imines on the nature of substituents in arylidene fragment was determined. 1-(4-Methoxyphenylmethylidene)-, 1-benzylidene and 1-(3-nitrophenylmethylidene)-3-oxo-5-phenylpyrazolidin-1-ium-2-ides undergo thermally reversible intramolecular photocyclization with the formation of a diaziridine cycle. The rate of the reverse dark reaction of cycle re-opening grows with the increase of the solvent polarity. A stable photoproduct that does not exhibit luminescence in contrast to the initial form appears as a result of the photocyclization of 1-(4-nitrophenylmethylidene)-3-oxo-5-phenylpyrazolidin-1-ium-2-ide. The combination of spectral characteristics allows considering the obtained azomethine imines as molecular switches of optical and fluorescent properties.

Keywords: azomethine imines, 5-phenylpyrazolidin-3-one, photochromism, fluorescence, molecular switches.

¹ Научно-исследовательский институт физической и органической химии Южного федерального университета (Institute of Physical and Organic Chemistry, Southern Federal University, Rostov-on-Don, Russian Federation), Российская Федерация, 344090, г. Ростов-на-Дону, пр. Стачки, 194/2, e-mail: bren@ipoc.sfedu.ru

² Южный научный центр Российской академии наук (Southern Scientific Centre, Russian Academy of Sciences, Rostov-on-Don, Russian Federation), Российская Федерация, 344006, г. Ростов-на-Дону, пр. Чехова, 41, e-mail: aled@ipoc.sfedu.ru

Бистабильные фотохромные соединения представляют значительный интерес в плане создания полифункциональных материалов для молекулярной электроники, устройств оптической молекулярной памяти, логических систем и фотодинамических хемо- и биосенсоров [1-6]. К наиболее исследованным классам фотохромов относятся спиропираны и спирооксазины [7; 8], дигетарилэтены [9; 10], фульгиды [11], фульгимиды [12] и азобензолы [13]. В меньшей степени в литературе описаны соединения с отрицательным фотохромизмом – норборнадиены [14; 15], ацилотропные гетероциклические енаминокетоны [16-18] и азометинимины [19]. Особенность строения циклических азометиниминов О-производных ароматических карбальдегидов и пиразолидин-3-она заключается в наличии поляризованной цепи пяти атомов, три из которых структурно принадлежат гетероциклу. Их фотоиндуцированная внутримолекулярная циклизация, приводящая к образованию бициклических диазиридинов С, термически и фотохимически обратима [20-23], является стереоспецифической, зависит от электронных эффектов заместителя R⁵ и полярности растворителя [24] (схема 1). Превращения реализуются как в растворах, так и в полимерных матрицах [25; 26].

В настоящей статье с целью изучения влияния различных по природе арилиденовых заместите-

Схема 1

лей R на спектральные и фотохромные свойства азометиниминов осуществлен синтез, исследовано строение и превращение соединений **1a–e O** (схема 2).

Азометинимины 1а-е были синтезированы конденсацией 5-фенилпиразолидин-3-она с R-замещенными бензальдегидами. В их ИК-спектрах содержатся интенсивные пики в области 1689-1650 см⁻¹, относящиеся к валентным колебаниям сопряженных C=O и C=N связей соответственно. По данным спектров ЯМР ¹Н, в CDCl, и ДМСО-d. соединения 1а-е существуют в виде открытого азометиниминного изомера О [27-29]. Наличие в пятом положении пиразолидонового кольца одного протона наряду с фенильным заместителем приводит к появлению в CDCl, квартетного сигнала от двух неэквивалентных протонов соседней СН₂-группы в области 3,3-2,8 м.д. На положение сигнала метинового протона оказывают влияние электронные эффекты заместителей в арилиденовом фрагменте, проявляющиеся в случае электронодонорных заместителей в незначительном сдвиге сигнала по сравнению с соединением 1с в сильное поле на 0,19 и 0,02 м.д. для соединений 1а и 1b соответственно, а в случае электроноакцепторного заместителя – нитрогруппы – в сторону слабого поля на 0,09 и 0,07 м.д. для соединений 1d и 1e соответственно. Сигнал α-протонов ароматического кольца бензилиденового фрагмента для соединений 1а-е проявляется в более слабом поле в области 3,34-2,79 м.д. по сравнению с другими ароматическими протонами. Изменение полярности растворителя при переходе от CDCl₂ к ДМСО- d_6 незначительно сказывается на положении сигналов протонов пиразолидонового кольца и ароматических заместителей. Зависимость сигнала метинового протона от электронных эффектов заместителей, наблюдавшаяся в CDCl₃, остается прежней, однако вследствие сольватационных эффектов сигналы метиновых протонов сдвинуты в сторону слабого поля на 0,5-0,7 м.д.

Ph

CXEMA 2

Ph

$$CXEMA 2$$

Ph

 $CXEMA 2$

Ph

 $CXEMA 3$

Ph

 $CXEMA 2$

Ph

 $CXEMA 3$

Ph

 $CXEMA 4$

Ph

 $CXEMA 3$

Ph

 CX

Электронные спектры поглощения азометиниминов **1**а-е в ацетонитриле характеризуются длинноволновыми полосами поглощения в районе 344–396 нм с молярными коэффициентами экстинкции в максимумах 27700–38360 л·моль⁻¹·см⁻¹ (табл. 1).

Таблица 1. Спектрально-абсорбционные характеристики соединений **1а**—е в ацетонитриле при 293 К

Table 1. Spectral absorption characteristics of compounds 1a-e in acetonitrile at 293 K

| Соединения | Открытая форма О | Циклическая фотоформа С | Квантовый выход |
|------------|--|--|------------------------------------|
| | λ_{\max}^{abs} , нм $(\varepsilon\cdot 10^{-3}, \mathrm{n\cdot Monb^{-1}\cdot cm^{-1}})$ | $\lambda_{	ext{max}}^{	ext{abs}}$, HM $(A_{	ext{max}})$ | $\phi_{\mathbf{O} \to \mathbf{C}}$ |
| 1a | 245 (5,24), 294 (3,56), 396 (29,50) | 242 (0,22), 333 (0,18) | 0,01 |
| 1b | 345 (41,11), 362 (38,36) | 242 (0,41) | 0,23 |
| 1c | 337 (29,96), 351 (27,70) | 230 пл. (0,26) | 0,33 |
| 1d | 344 (35,73) | 260 (0,22) | 0,04 |
| 1e | 262 (16,42), 385 (35,43) | 270 (0,33) | 0,04 |

Примечание. $\lambda_{\max}^{\text{abs}}$ — максимум полосы поглощения; ϵ — коэффициент экстинкции в максимуме полосы поглощения; A_{\max} — величина оптической плотности в максимуме полосы поглощения фотоиндуцированной формы C; $\phi_{o\to c}$ — квантовый выход реакции фотопиклизации.

Note. λ_{\max}^{abs} – maximum of absorption band; ϵ – the extinction coefficient at the maximum of absorption band; A_{\max} – optical density at the maximum of absorption band of photo-induced form C; $\phi_{O\to C}$ – the quantum yield of photocyclization.

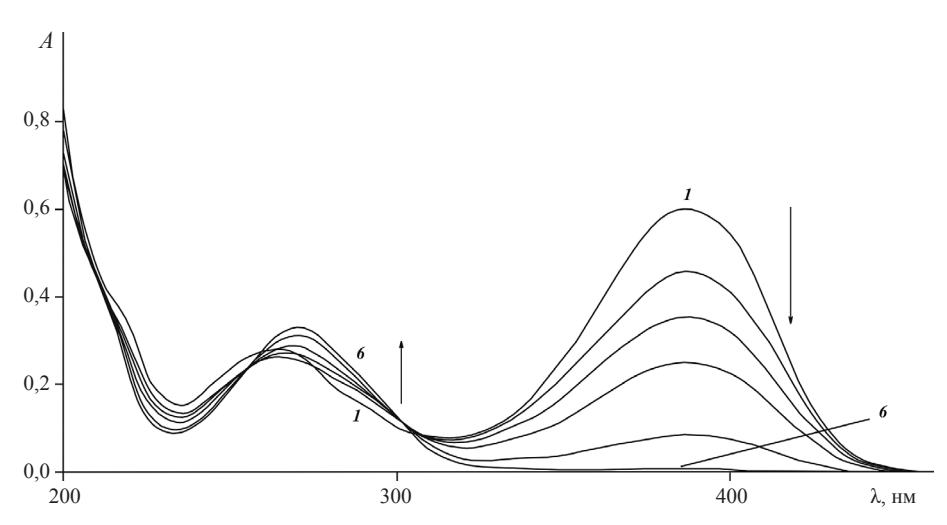


Рис. 1. Электронные спектры поглощения азометинимина **1e** в ацетонитриле до (1) и после 20 с (2), 30 с (3), 40 с (4), 60 с (5), 100 с (6) облучения ($\lambda_{06\pi}$ = 365 нм, C = 1,7·10⁻⁵ M, 293 K) **Fig. 1.** Electronic absorption spectra of azomethine imine **1e** in acetonitrile before (1) and after 20 s (2), 30 s (3), 40 s (4), 60 s (5), 100 s (6) of irradiation (λ_{irr} = 365 nm, C = 1.7·10⁻⁵ M, 293 K)

Облучение растворов азометиниминов **1b–e O** в ацетонитриле фильтрованным светом ртутной лампы ($\lambda_{\text{обл}} = 365$ нм) приводит к спектральным изменениям, характерным для внутримолекулярной фотоциклизации с образованием арилдиа-

забицикло[3.1.0] гексан-2-онов (бициклических диазиридинов) **1b-е** С [19–22] (схема 2) и сопровождается уменьшением интенсивности длинноволновых максимумов поглощения и появлением новых полос поглощения в коротковолновой области спектра (табл. 1, рис. 1) вплоть до практически

полной конверсии исходных соединений.

При длительном облучении раствора соединения **1e O** в CD₃CN в спектре ЯМР ¹Н наблюдается появление синглетного сигнала при 4,60 м.д. и одновременное исчезновение пика метинового протона при 7,15 м.д., а также изменение положения сигналов остальных протонов исходного азометинимина (рис. 2), что полностью подтверждает образование бициклического диазиридина **1e C** [20; 21].

Арилиденовый заместитель RC_6H_4 и полярность растворителя оказывают существенное влияние на параметры фотохромного процесса $\mathbf{O} \rightarrow \mathbf{C}$ (табл. 1). Так, квантовый выход фотоциклизации азометинимина 1а, содержащего наиболее сильную электронодонорную группу $R = 4-Me_2N$, в ацетонитриле даже при облучении суммарным светом ртутной лампы составляет всего 0,01. В толуоле реакция образования диазиридина 1а С протекает значительно более эффективно при облучении фильтрованным светом $\lambda_{\text{обл}} = 365$ нм. Такие явления связаны с высокой скоростью обратного процесса рециклизации соединения 1а C→1а O (особенно в среацетонитрила). Реакция раскрытия диазиридинового цикла С→О соединений **1b,с** наблюдается в растворах

в ацетонитриле при 293 К в темновых условиях после прекращения облучения. Время жизни соединения **1b** составляет 826 с, а для диазиридина **1c** – 86 400 с. Уменьшение полярности растворителя (толуол) на порядок повышает время жиз-

ни соединений **1b,c**. Наибольшей термической устойчивостью обладают диазиридины с электроноакцепторными арилиденовыми фрагментами RC_6H_4 : $R = 3-NO_2$ (**1d O**) и $R = 4-NO_2$ (**1e O**). Так, интенсивность длинноволновой полосы поглощения диазиридина **1e O** в ацетонитриле остается практически неизменной в течение 168 ч в темноте при 293 K, а также при нагревании раствора до 70 °C.

Растворы соединений **1a-d O** не обладают флуоресцентными свойствами. Однако в случае азометинимина 1е О, имеющего наиболее сильную электроноакцепторную группу R = 4-NO₂, в растворе в ацетонитриле наблюдается эмиссия с аномальным стоксовым сдвигом ($\lambda_{em} = 525$ нм, $\lambda_{ex} = 390$ нм, $\phi_{fl} = 0.03$), что, по-видимому, связано с образованием комплекса с переносом заряда в возбужденном состоянии. Диазиридин 1е С не флуоресцирует, поэтому уменьшение интенсивности флуоресценции до нулевых значений в ходе фотореакции $1e O \rightarrow 1e C$ свидетельствует о полном превращении исходного азометинимина в циклический изомер. Остальные диазиридины также не флуоресцентны, за исключением соединения 1d C, которое обладает малоинтенсивной эмиссией с обычной величиной стоксова сдвига $(\lambda_{em} = 305 \text{ нм}, \lambda_{ex} = 255 \text{ нм})$, которая модулируется светом в ходе фотопроцесса $1d O \rightarrow 1d C$.

Таким образом, азометинимины **1b—е** представляют собой молекулярные переключатели оптических свойств с отрицательным фотохромизмом. В ходе облучения 1-(3-нитрофенилметилиден)-3-оксо-5-фенилпирзолидин-1-ий-2-ида **1d O** происходит образование флуоресцирующего изомера **1d C**. Фотоциклизация 1-(4-нитрофенилметилиден)-3-оксо-5-фенилпиразолидин-1-ий-2-ида **1e** сопровождается образованием устойчивого фотопродукта с исчезновением флуоресценции исходной формы, что может быть использовано в устройствах оптической записи информации.

ЭКСПЕРИМЕНТАЛЬНАЯ ЧАСТЬ

Спектры ЯМР 1Н регистрировали на спектрометре Bruker Avance-600 (600 МГц) в CDCl и СН, CN и ДМСО-d. Химические сдвиги измеряли относительно ТМС. Колебательные спектры записаны на приборе Varian Excalibur 3100 FT-IR методом нарушенного полного внутреннего отражения с использованием кристалла ZnSe. Масс-спектры зарегистрированы испольc метода электронной ионизации зованием масс-спектрометре Shimadzu GCMS-OP2010 SE с прямым вводом образца в ионный источник (70 эВ). Электронные спектры поглощения измерены на спектрофотометре Varian Cary 100. Фотолиз растворов осуществлен ртутной газоразрядной лампой ДРШ-250 мощностью 250 Вт с набором интерференционных светофильтров. Спектры флуоресценции сняты на спектрофлуориметре Varian Cary Eclipse. Значения квантовых выходов флуоресценции определены методом Паркера - Риса [30]. Для приготовления растворов использовали толуол и ацетонитрил спектроскопической чистоты (Aldrich). Температуру плавления измеряли в стеклянных капиллярах на приборе ПТП (М). Динамику реакций и чистоту полученных соединений контролировали методом TCX (пластины Silufol U-254, элюент хлороформ-метанол (5:1), проявление парами йода во влажной камере).

Общая методика получения азометиниминов (1а-е). Смесь 5-фенилпиразолидин-3-она [31] (1,62 г, 10 ммоль) и соответствующего замещенного бензальдегида (10 ммоль) в 25 мл 2-пропанола кипятили с обратным холодильником до завершения реакции. Окончание реакции определяли с помощью ТСХ. Реакционную смесь охлаждали до комнатной температуры, образовавшийся осадок отфильтровывали и перекристаллизовывали из соответствующего растворителя.

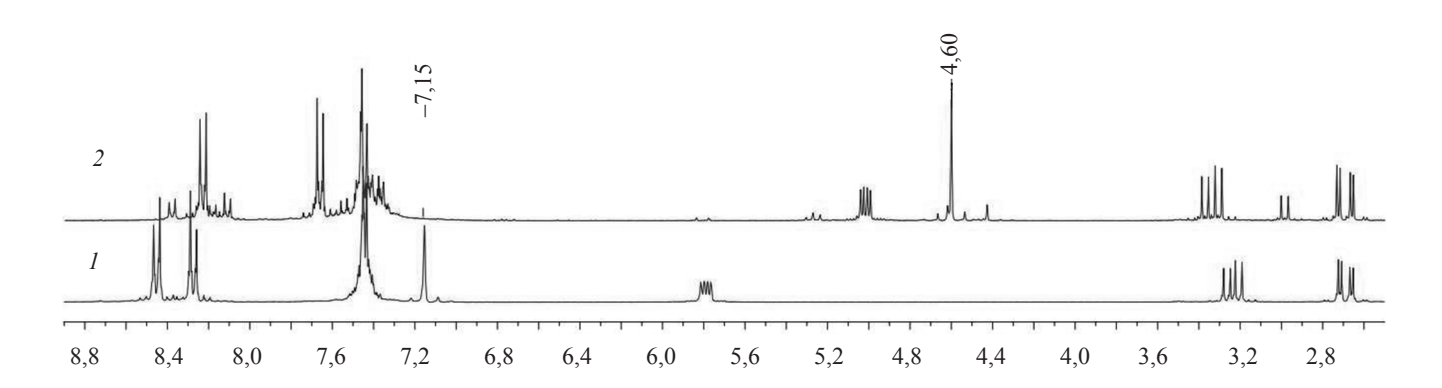


Рис. 2. Спектры ЯМР ¹H соединения **1e** в CD₃CN (C = 3,4·10⁻² M, 293 K) до (*I*) и после 18 ч облучения (*2*), $\lambda_{\text{обл}}$ = 365 нм **Fig. 2.** NMR ¹H spectra of compound **1e** in CD₃CN (C = 3.4·10⁻² M, 293 K) before (*I*) and after 18 h of irradiation (*2*), λ_{irr} = 365 nm

1-(4-Диметиламинофенилметилиден)-3-ок-со-5-фенилпиразолидин-1-ий-2-ид (1а). Получали по общей методике, используя 4-(диметиламино)бензальдегид. Перекристаллизовывали из 2-пропанола. Выход 1,10 г (44%). Светло-желтые кристаллы, т.пл. > 250 °C (разл.). ИК-спектр, v/см⁻¹: 3082, 2968, 1670, 1650, 1589, 1527, 1491, 1454, 1438, 1412. Спектр ЯМР ¹H (CDCl₃), δ /м.д.: 8,12 (д, 2H, H_{Ar}, J 8,7 Гц), 7,39–7,31 (м, 5H, H_{Ar}), 6,66–6,61 (м, 3H, CH=N⁺, H_{Ar}), 5,05 (дд, 1H, C<u>H</u>-Ph, J 5,7, 9,9 Гц), 3,25 (дд, 1H, CH₂C=O, J 9,9, 16,5 Гц), 3,04 (с, 6H, Me₂N), 2,80 (дд, 1H, CH₂C=O, J 5,7, 16,8 Гц). Масс-спектр, m/z (I_{отн}, %): 293 [М]⁺ (50), 292 (7), 250 (1), 189 (18), 133 (100), 131 (6), 118 (31), 104 (13). Найдено, мас. %: С 73,87; H 6,55. C₁₈ H₁₉ N₃ O. Вычислено, мас. %: С 73,69; H 6,53.

1-(4-Метоксифенилметилиден)-3-оксо-5-фенилпиразолидин-1-ий-2-ид (1b) получали по методике [32].

1-Бензилиден-3-оксо-5-фенилпиразолидин- 1-ий-2-ид (**1c**) получали по методике [33]. **1-(3-Нитрофенилметилиден)-3-оксо-5-фенил- пиразолидин-1-ий-2-ид** (**1d**). Получали по общей методике, используя 3-нитробензальдегид. Перекристаллизовывали из ацетонитрила. Выход: 1,06 г, 36%. (СН₃СN). Порошок желтого цвета, т.пл. 183–184°С. ИК-спектр, v/см⁻¹: 3342, 3081, 3060, 2979, 1671, 1581, 1566, 1527, 1493, 1457, 1434. Спектр ЯМР ¹H (CDCl₃), δ /м.д.: 9,03 (д, 1H, H_{Ar}, J 8,1 Гц), 8,67 (с, 1H, H_{Ar}), 8,26 (д, 1H, H_{Ar}, J 8,1 Гц), 7,68–7,36 (м, 6H, H_{Ar}), 6,89 (с, 1H, CH=N⁺), 5,63 (дд, 1H, С<u>Н</u>-Ph, J 9,8, 5,7 Гц), 3,34 (дд, 1H, CH₂C=O, J 17,0,

9,8 Гц), 2,92 дд (1H, CH₂C=O, J 5,7, 17,0 Гц). Массспектр, m/z (I_{отн}, %): 295 [M]⁺ (22), 294 (18), 252 (1), 248 (2), 173 (3), 136 (7), 131 (11), 104 (100). Найдено, мас. %: С 64,89; H 4,57. C₁₆H₁₃N₃O₃. Вычислено, мас. %: С 65,08; H 4,44.

1-(4-Нитрофенилметилиден)-3-оксо-5-фенилпиразолидин-1-ий-2-ид (1е) получали по методике [32].

6-(4-Нитрофенил)-1,5-диазабицикло[3.1.0] гексанон (1е С). Раствор азометинимина 1е О (10 мг, 34 ммоль) в 1 мл СД СN в кварцевом фотореакторе (V = 5 мл, l = 1 см), расположенном на расстоянии 15 см от источника излучения, облучали светом ртутной лампы ДРШ-250 светом $\lambda_{\text{обл}} = 365 \text{ нм}$ при воздушном охлаждении и перемешивании. Полноту протекания реакции контролировали методом ЯМР ¹Н. Через 18 ч облучения раствор содержал 95% фотопродукта - бициклического диазиридина **1e** С. Спектр ЯМР ¹Н (CD,CN), δ/м.д.: 8,23 (д, 2H, H_{AP} , J 8,7 Γ ц), 7,66 (д, 2H, H_{AP} , J 8,7 Γ ц), 7,50-7,39 (м, 5H, H_{Ar}), 5,02 (дд, 1H, CH-Ph, J 4,5, 9,6 Гц), 4,60 (c, 1H, CH-N), 3,34 дд (1H, СН,С=О, Ј 9,6, 19,5 Гц), 2,69 (дд, 1Н, СН,С=О, J 4,5, 19,5 Γ ц).

Исследование проведено в рамках выполнения гранта Южного федерального университета № 213.01-2014/005ВГ. Ю.В. Ревинский, Е.Н. Шепеленко и А.Д. Дубоносов выполняли работу в рамках реализации Государственного задания на 2016 г. № 007-01114-16 ПР 0256-2014-0009.

СПИСОК ЛИТЕРАТУРЫ (REFERENCES)

- Minkin V.I. 2008. Bistable organic, organometallic, and coordination compounds for molecular electronics and spintronics. *Russ. Chem. Bull.* 57(4): 687–717.
- 2. Andreasson J., Pischel U. 2015. Molecules with a sense of logic: a progress report. *Chem. Soc. Rev.* 44(5): 1053–1069.
- 3. Zhang J., Zou Q., Tian H. 2013. Photochromic materials: more than meets the eye. *Adv. Mater.* 25(3): 378–399.
- Barachevsky V.A., Krayushkin M.M. 2008. Photochromic organic compounds for optical memory. *Russ. Chem. Bull.* 57(4): 867–875.
- Natali M., Giordani S. 2012. Molecular switches as photocontrollable "smart" receptors. *Chem. Soc. Rev.* 41(10): 4010–4029.
- Wang G., Zhang J. 2012. Photoresponsive molecular switches for biotechnology. *J. Photochem. Photobiol. C: Photochem. Rev.* 13(4): 299–309.

- Klajn R. 2014. Spiropyran-based dynamic materials. *Chem. Soc. Rev.* 43(1): 148–184.
- Minkin V.I. 2004. Photo-, Thermo-, Solvato-, and Electrochromic Spiroheterocyclic Compounds. *Chem. Rev.* 104(5): 2751–2776.
- Irie M. 2000. Diarylethenes for memories and switches. *Chem. Rev.* 100(5): 1685–1716.
- Irie M., Fukaminato T., Matsuda K., Kobatake S. 2014. Photochromism of diarylethene molecules and crystals: Memories, switches, and actuators. *Chem. Rev.* 114(24): 12174–12277.
- Yokoyama Y. 2000. Fulgides for memories and switches. Chem. Rev. 100(5): 1717–1739.
- Rueck-Braun K., Mayer K., Hebert A., Michalik F. 2012.
 Fulgimides. In: Organic Photochemistry and Photobiology.
 A. Griesbeck, M. Oelgemöller, F. Ghetti (Eds). London; New York; Boca Raton, CRC Press: 607–626.

- 13. Zhao X.Y., Wang M.Z. 2006. Synthesis and photoresponsive behavior of azobenzene-functionalized polythiophene films. *Eur. Polymer J.* 42(2): 247–253.
- Dubonosov A.D., Bren V.A., Minkin V.I. 2004. The Photochemical Reactivity of Norbornadiene-Quadricyclane System.
 In: Handbook of Organic Photochemistry and Photobiology (2nd ed.). W.M. Horspool, F. Lenci. (Eds). Boca Raton, CRC Press: 17-1–17-34.
- Chernoivanov V.A., Dubonosov A.D., Bren V.A., Minkin V.I., Suslov A.N., Borodkin G.S. 1997. Photoinitiated rearrangements of 3-phenylnorbornadiene with conjugated substituents in 2-position. *Mol. Cryst. Liq. Cryst.* 297(1): 239–245.
- Minkin V.I., Bren V.A., Dubonosov A.D., Tsukanov A.V. 2012. Acylotropic intramolecular rearrangements of keto enamines of benzo[b]-annelated heterocycles. *Chem. Heterocycl. Compd.* 48(1): 107–116.
- Dubonosov A.D., Minkin V.I., Bren V.A., Popova L.L., Rybalkin V.P., Shepelenko E.N., Tkalina N.N., Tsukanov A.V. 2003. Photochromic 2-(N-acyl-N-arylaminomethylene)-benzo[b]thiophene-3(2H)-ones with fluorescent labels and/or crown-ether receptors. ARKIVOC. 13: 12–20.
- Rybalkin V.P., Popova L.L., Dubonosov A.D., Shepelenko E.N., Revinskii Yu.V., Bren V.A., Minkin V.I. 2001. Photoacylotropic enaminoketones with a fluorophoric migrant. *Russ. J. Org. Chem.* 37(9): 1318–1322.
- Kuz'min M.G., Koz'menko M.V. 1990. Luminescence of Photochromic Compounds. In: *Organic Photochromes*. A.V. El'tsov (Ed). N-Y; London, Plenum Press: 245–265.
- 20. Shulz M., West G. 1970. Eine neue Diaziridin-Synthese durch Photochemische Cyclisierung von Azomethiniminen. *J. Prakt. Chem.* 312(1): 161–164.
- 21. Shulz M., West G. 1973. Photochemische Reaktionen von Pyrazolidon-(3)-betainen. II. Synthese der β-Hydrazino-isovaleriansäure. *J. Prakt. Chem.* 315(4): 711–716.
- Dorn H. 1981. Advances in the chemistry of pyrazolidones, iminopyrazolidines, and amino- and hydroxypyrazoles. *Chem. Heterocycl. Compd.* 17(1): 1–24.
- Klimakova A., Kozmenko M.V., Tomashevskii G., Kuzmin M.G. 1980. Fluorescence properties and photoisomerization of pyrene-substituted pyrazolidone-(3)-azomethinimine –

- photochemical-reaction from the unrelaxed state. *High Energy Chem.* 14(2): 110–116.
- Geissler G., Menz I., Köppel H., Kretschmer M., Kulpe S. 1983. Untersuchung der Struktur Photochemisch aus Pyrazolidon-(3)-azomethiniminen Erzeugter 1,5-Diaza-bicyclo-[3,1,0]-hexan-2-one mit Hilfe der LIS und der RKSA. J. Prakt. Chem. 325(6): 995-1001.
- Воробьев А.Х. 2009. Фотоселекция и фотоориентация.
 В кн: Экспериментальные методы химии высоких энергий.
 М.Я. Мельников (ред). М., изд-во МГУ: 369–437.
 - Vorob'yev A.Kh. 2009. [Photoselection and photoorientation]. In: *Experimental 'nye metody v khimii vysokikh energiy*. [*Experimental methods in high energy chemistry*]. M.Ya. Mel'nikov (Ed). Moscow, Moscow State University Publishers: 369–437. (In Russian).
- Minaylov V.V., Vorobiev A.Kh., Gurman V.S. 1994. The rotation mobility of the guest molecules and its reactivity. *Mol. Cryst. Liq. Cryst.* 248(1): 97–101.
- Koptelov Yu.B., Sednev M.V., Kostikov R.R. 2012. (Z)-1-Al-kylidene- and 1-Arylmethylidene-5,5-dimethyl-3-oxopyrazoli-din-1-ium-2-ides and Their Cycloaddition to N-Arylmaleimides. *Russ. J. Org. Chem.* 48(6): 804–814.
- 28. Geissler G., Hippius M., Tomaschewski G. 1982. Azomethinimine. V. ¹H-NMR-Spektren und sterischer Bau von arylsubstituierten Pyrazolidon-Azomethiniminen. *J. Prakt. Chem.* 324(6): 903–909.
- Radeglia R., Dorn H. 1982. 13C-NMR-Spektrum und Elektronenstruktur vom 1-Benzyliden-pyrazolid-3-on-N, N-betain. Z. Chem. 22: 313–314.
- Parker C.A. 1968. Photoluminescence of Solutions. Amsterdam; London; New York, Elsevier Press.
- 31. Gould E., Lebl T., Slawin A.M.Z., Reid M., Smith A.D. 2010. Structural effects in pyrazolidinone-mediated organocatalytic Diels Alder reactions. *Tetrahedron*. 66(46): 8992–9008.
- 32. Xu X., Qian Y., Zavalij P.Y., Doyle M.P. 2013. Highly Selective Catalyst-Dependent Competitive 1,2-C→C, -O→C, and -N→C Migrations from β-Methylene-β-silyloxy-β-amido-α-diazoacetates. *J. Am. Chem. Soc.* 135(4): 1244–1247.
- 33. Suarez A., Downey C.W., Fu G.C. 2005. Kinetic Resolutions of Azomethine Imines via Copper-Catalyzed [3 + 2] Cycloadditions. *J. Am. Chem. Soc.* 127(32): 11244–11245.

Поступила 31.05.2016